

ФОТОИНДУЦИРОВАННЫЕ ИЗМЕНЕНИЯ

ОПТИЧЕСКОГО ПОГЛОЩЕНИЯ В МОНОКРИСТАЛЛАХ ИТТРИЙ-ЖЕЛЕЗИСТОГО ГРАНАТА

© Р.А. Дорошенко, М.Д. Надеждин

Институт физики молекул и кристаллов Российской академии наук,
450065 Уфа, Россия

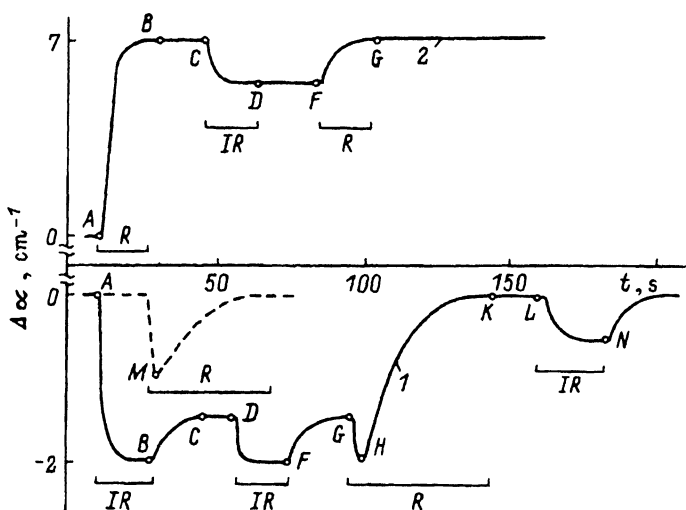
(Поступила в Редакцию 12 мая 1996 г.)

Исследованы фотоиндуцированные изменения оптических характеристик монокристаллов иттрий-железистого граната.

Открытие явления изменения магнитных свойств в иттрий-железистых гранатах (ИЖГ) при освещении [1] вызвало интерес к более детальному изучению влияния света на физические свойства магнитных материалов. Было обнаружено, что наряду с магнитными меняются и магнитооптические свойства ИЖГ [2,3]. На длине волны $\lambda = 1.1 \mu\text{m}$ наблюдалось увеличение оптического поглощения для образцов $\text{Y}_3\text{Fe}_5\text{O}_{12}$, легированных Ca^{2+} , и просветление для образцов, легированных Si^{4+} [4], а также изучалось дополнительное фотоиндуцированное поглощение в спектральном диапазоне $700\text{--}4000 \text{cm}^{-1}$ в $\text{Y}_3\text{Fe}_{5-x}\text{Si}_x\text{O}_{12}$ ($x = 0.043$) при 20 K [5].

В данной работе представлены экспериментальные результаты фотоиндуцированных изменений оптического поглощения в монокристаллах ИЖГ, выращенных из растворителей $\text{BaO}\text{--}\text{Ba}_2\text{O}_3$ (образцы ИЖГ (Ba)) и $\text{PbO}\text{--}\text{PbF}_2$ (образцы ИЖГ (Si), легированные кремнием), обладающих различными фотомагнитными свойствами [6]. Измерение коэффициента поглощения α проводилось в спектральном диапазоне $1\text{--}1.5 \mu\text{m}$, в котором величина и знак изменения α зависят от концентрации и валентности примеси. Детально исследовалась кинетика α при различных спектральном составе и интенсивности облучающего света. Образцы были изготовлены в виде дисков толщиной 0.05–0.06 см и отполированы с обеих сторон.

Спектральная зависимость фотоиндуцированного поглощения изучалась методом дискретного сканирования. После помещения образца в жидкий азот при фиксированной длине волны регистрировалась разность сигналов измерительного луча до и после освещения образца от дополнительного источника, и по этим значениям вычислялось изменение $\Delta\alpha$ на выбранной длине волны. При переходе к новой длине волны образец нагревался до 300 K и измерения повторялись.



Временные зависимости изменения коэффициента поглощения $\Delta\alpha$ на длине волны $\lambda = 1.1 \mu\text{m}$ в процессе воздействия света при $T = 78 \text{ K}$ на ИЖГ(Si) (1) и ИЖГ(Ba) (2).

IR и R — интервалы времени воздействия света соответственно спектрального диапазона 1-2 и $0.7-2 \mu\text{m}$.

Такая методика позволяла свести к минимуму влияние зондирующего луча на результаты измерений. Фотоиндуцированное поглощение $\Delta\alpha = (1/d)\ln(I_d/I_l)$ расчитывалось из интенсивности луча до I_d и после I_l освещения с учетом толщины образца d (см). Для образцов ИЖГ(Ba) первоначальное освещение увеличивает оптическую плотность, а в ИЖГ(Si) поглощение уменьшается. Максимальная величина эффекта для всех образцов лежит вблизи длинноволнового края поглощения ($1 \mu\text{m}$) и монотонно убывает до нуля к $1.4 \mu\text{m}$. Причем для ИЖГ(Si) максимальный эффект ($\Delta\alpha \approx -2 \text{ cm}^{-1}$) наблюдается при освещении через ИКС-7, а для ИЖГ(Ba) ($\Delta\alpha \approx 7 \text{ cm}^{-1}$) — при освещении через КС-17.

Измерения временных зависимостей изменения оптического поглощения $\Delta\alpha$ в процессе воздействия света различного спектрального состава проводились на фиксированной длине волны $\lambda = 1.1 \mu\text{m}$. Изменение спектра облучения осуществлялось широкополосными фильтрами КС-17 и ИКС-7 с полосой пропускания соответственно $0.65-2$ и $1-2 \mu\text{m}$.

Для ИЖГ(Si) временные зависимости $\Delta\alpha$ изображены на рисунке (кривая 1). Максимальное начальное просветление (участок AB) вызывается ИК-светом с $\lambda > 1 \mu\text{m}$ (фильтр ИКС-7) при небольшой интенсивности облучения. После выключения света наблюдается частичное самопроизвольное увеличение α (участок BC). При следующем включении ИК-света наблюдается повторное уменьшение поглощения α (участок DF), которое после выключения воздействия возвращается в исходное состояние (участок FG). Расширение спектрального интервала облучения в коротковолновую сторону до $0.65 \mu\text{m}$ приводит к тому, что при следующем воздействии после быстрого спада (участок GH) наблюдается возрастание α до первоначальной величины (участок HK). Однако это состояние не является тождественным

начальному состоянию, так как в этом случае ИК-облучение приводит только к незначительному и обратимому «просветлению» (участок *LN*). Возврат в исходное состояние достигался нагреванием образца до 300 К. Если первоначальное воздействие осуществляется через КС-17, наблюдается зависимость α , изображенная на рисунке штриховой линией. При длительном воздействии после быстрого спада наблюдается медленное возрастание α до начального значения. При выключении подсветки в момент наибольшего спада (точка *M*) достигнутое значение α сохраняется при незначительной релаксации.

Первоначальное облучение через светофильтр КС-17 образцов ИЖГ(Ва) приводит к увеличению оптического поглощения (участок *AB* кривой 2). Отметим, что при первоначальном ИК-воздействии ($\lambda > 1 \mu\text{m}$) наблюдается незначительное увеличение α . Последующее ИК-воздействие вызывает уменьшение α (участок *CD*), и это состояние не распадается после выключения воздействия света (участок *DF*). Возрастание до прежнего уровня происходит при освещении через светофильтр КС-17 (участок *FG*).

Таким образом, в исследованных образцах обнаружены два типа фотоиндированных эффектов в оптическом поглощении: первоначальный эффект необратимого при азотной температуре изменения оптического поглощения, наблюдаемый при воздействии света через КС-17, и обратимое уменьшение поглощения после последующих ИК-воздействий. Имеются некоторые особенности проявления этих эффектов в образцах ИЖГ(Ва) и ИЖГ(Si), обусловленные различием количества и типа ионов железа. Так, первоначальный эффект в ИЖГ(Si) имеет немонотонный характер. Обратимый эффект после выключения ИК-воздействия в ИЖГ(Si) распадается, а в ИЖГ(Ва) обратимость достигается дополнительным воздействием света через светофильтр КС-17.

Зависимость оптического поглощения в ИЖГ в ближней ИК-области спектра от иновалентных магнитных ионов [7,8] является основанием для возможных корреляций между магнитными и оптическими фотоиндированными изменениями. Сравнение результатов ранее проведенных исследований магнитной анизотропии [6] и других магнитных параметров [9] на этих же образцах с результатами исследования оптических фотоиндированных эффектов позволяет сделать следующие заключения. В ИЖГ(Ва) первоначальный эффект в оптическом поглощении вызван образованием ионов Fe^{4+} . В ИЖГ(Si) убывание оптического поглощения возможно при уменьшении на первой стадии количества ионов Fe^{2+} при двухстадийном перераспределении их от «ближних» относительно ионов Si^{4+} к «дальним» положениям. Последующее возрастание α может быть связано с возникновением ионов Fe^{2+} в «дальных» положениях. Обнаруженные обратимые оптические эффекты также объясняются изменениями количеств соответствующих иновалентных ионов железа вблизи донорных или акцепторных центров.

Работа частично поддержана грантом ISF J49100 и Российским фондом фундаментальных исследований (грант № 94-02-04737).

Список литературы

- [1] P.W. Teale, D.W. Teample. Phys. Rev. Lett. **19**, 904 (1967).
- [2] A. Tucciarone. Physiks of magnetic garnets. 70 Corso. Soc. Italiana di Fisica. Bologna, Italy (1978).
- [3] В.Ф. Коваленко, Э.Л. Нагаев. УФН **148**, 561 (1986).
- [4] E.M. Gyorgy, J.F. Dillon, J.P.J. Remeika. Appl. Phys. **42**, 1454 (1971).
- [5] Н.Г. Находкин, В.В. Вознюк. ФТТ **31**, 1, 114 (1989).
- [6] P.A. Дорошенко. Тр. ИОФРАН **44**, 105 (1992).
- [7] D.L. Wood, J.P. Remeika. Appl. Phys. **38**, 1038 (1967).
- [8] G.B. Scott, J.L.S. Page. Phys. Stat. Sol. (b) **79**, 203 (1977).
- [9] P.A. Дорошенко, М.С. Сетченков, И.В. Владимиров, В.А. Тимофеева. ФТТ **34**, 2, 377 (1992).